

بهینه‌سازی کشت سلول‌های نابالغ از سلول‌های مغز استخوان موش در شرایط عاری از اندوتوكسین

عاطفه صادقی شرمه^۱، سیما حبیب‌زاده^۱، عادله تقی‌خانی^۲، سیما رأفتی^۱، نگار سید^{۱*}

- (۱) گروه تحقیقات انگل‌شناسی، قارچ‌شناسی و ایمونولوژی، بخش ایمونوتراپی و تحقیقات واکسن لیشمانیا، انستیتو پاستور ایران، تهران، ایران
- (۲) گروه ایمونولوژی، دانشکده علوم پزشکی، دانشگاه تربیت مدرس، تهران، ایران

تاریخ پذیرش: ۱۳۹۹/۱۱/۲۶

تاریخ دریافت: ۱۳۹۹/۸/۱۷

چکیده

مقدمه: سلول‌های دندریتیک در مطالعات پایه و همچنین تحقیقات درباره واکسن بسیار اهمیت دارند؛ اما جداسازی و کشت این سلول‌ها به علت تعداد اندک در بافت‌ها، با چالش‌هایی روبروست. با توجه به اینکه روش استانداردی وجود ندارد، در این پژوهش، به برخی از عوامل مؤثر در افزایش بازدهی جداسازی سلول‌های دندریتیک از مغز استخوان موس *c* BALB/C پرداخته شده است.

مواد و روش‌ها: پس از جداسازی سلول‌های مغز استخوان از فمور و تibia و هم‌جواری با سایتوکاین GM-CSF، در روز سوم، نیمی از سلول‌ها به پلیت جدید انتقال داده و در روز پنجم، از اولیگونوکلئوتید CpG برای تحریک سلول‌ها استفاده شد. در روزهای پنجم و هفتم، بقای سلول‌ها و همچنین شاخص‌های فنوتیپی CD11C، MHC-II، CD86 با فلوسایتمتری بررسی گردید.

یافته‌های پژوهش: در این مطالعه مشخص شد که حضور اندوتوكسین در مراحل کشت سلول‌های نابالغ، به طور معنی دار ($P < 0.05$) سبب کاهش بازیابی سلول‌های دندریتیک می‌شود. علاوه بر این، تعداد کمتر از یک میلیون سلول در پلیت‌های غیرچسبنده سبب بقای بیشتر و بازدهی بالا می‌گردد. انتقال سلول‌ها در روز سوم به پلیت جدید هم به عنوان راهکاری برای جلوگیری از بلوغ زودرس سلول‌های دندریتیک و مرگ ناشی از آن معروف شد. پس از دستیابی به سلول‌های نابالغ در مجاورت GM-CSF، می‌توان برای القای مسیر Th1 از اولیگونوکلئوتید CpG در روز هفتم استفاده کرد. اختلاف معنادار ($P < 0.05$) با کنترل نشان داد که CpG می‌تواند به عنوان محرك در القای بلوغ پس از تیمار با GM-CSF به کار گرفته شود.

بحث و نتیجه‌گیری: بهینه‌سازی کشت سلول‌های دندریتیک به لحاظ شرایط مختلف کشت، نقش مهمی در بازدهی بازیابی این سلول‌ها دارد.

واژه‌های کلیدی: مغز استخوان، سلول‌های دندریتیک، بهینه‌سازی کشت، اندوتوكسین

* نویسنده مسئول: گروه تحقیقات انگل‌شناسی، قارچ‌شناسی و ایمونولوژی، بخش ایمونوتراپی و تحقیقات واکسن لیشمانیا، انستیتو پاستور ایران، تهران، ایران

Email: negarse@gmail.com

مقدمه

همچنین طول مدت کشت بستگی دارد که بر بازدهی بازیابی این سلول‌ها از سلول‌های مغز استخوان تأثیر می‌گذارد (۸)؛ به همین علت، روش کاملاً استانداردی برای کشت سلول‌های دندریتیک وجود ندارد و در مطالعات برونتنی، تفاوت‌های بسیاری در روش کار مشاهده می‌شود که بر اساس دو روش قدیمی (Lutz) (۹) و Inaba (۱۰) تغییراتی ایجادشده است؛ بدین سبب، کشت سلول‌های نابالغ با بازدهی بالا نیازمند ملزوماتی است که شناخت آن‌ها اهمیت فراوان دارد.

هدف از مطالعه پیش رو، نشان دادن اهمیت شرایط بهینه و عاری از لیپو پلی‌ساقارید (اندوتوکسین) برای استخراج سلول‌های مغز استخوان موش و افزایش بازدهی کشت این سلول‌ها و تهیه سلول‌های نابالغ دندریتیکی است که به صورت یک پژوهش تحلیلی-مداله‌ای طراحی شده است. برای این منظور، سلول‌های مغز استخوان موش c BALB بر اساس روش‌های استاندارد جداسازی و بازدهی بازیابی سلول‌های دندریتیک، پیش و پس از حذف LPS از مراحل کشت سلول‌های نابالغ مغز استخوان موش BALB/c به روش فلوسیتومتری و با استفاده از شاخص‌های دندریتیکی بهینه‌سازی تعداد سلول‌ها در کشت و انتقال سلول‌ها به پلیت‌های جدید در حین کشت، به عنوان عاملی برای بازیابی بهینه سلول‌های نابالغ معرفی گردید. در ادامه، استفاده از اولیگونوکلئوتید CpG که به گیرنده شبه‌تول ۹-TLR-۹ (Toll Like Receptor-9/TLR-9) متصل می‌شود، به عنوان جایگزین مناسبی برای LPS به عنوان محرك بلوغ معرفی شد که می‌تواند به عنوان کنترل مثبت در کشت سلول‌های دندریتیک در کنار محرك‌های اصلی استفاده گردد و سلول‌ها به مدت کافی در کشت زنده باقی می‌مانند و خطر از دست دادن سلول‌های کنترل به کمترین میزان می‌رسد.

مواد و روش‌ها

شرایط عاری از اندوتوکسین: بافر لیزکننده آمونیوم-کلرید-پتاسیم (ACK)، بافر HEPES، جنتامایسین، ال-گلوتامین و الکل ۷۰ درصد موردنیاز برای شستشوی استخوان‌ها با آب مقطر تزریقی استریل تهیه شد (همه نمک‌ها و پودرهای به کاررفته متعلق به

سلول‌های دندریتیک گروهی از عرضه‌کننده‌های تخصصی آنتیژن هستند که به صورت نابالغ در همه بافت‌های محیطی حضور دارند و مسئول دریافت آنتیژن‌های بیگانه به هنگام عفونت و عرضه آن‌ها به سلول‌های لنفوسيت در حال استراحت در بافت‌های لنفاوی ثانویه هستند. به دنبال برخورد با الگوهای مولکولی وابسته به پاتوزن (AMP) یا مولکول‌های آسیب بافتی (DAMP) و تماس با سایتوکاین‌های پیش‌التهابی و واکنش متقابل CD40/CD40L، توانایی عرضه آنتیژن در مجموعه سازگاری بافتی اصلی (MHC) افزایش می‌یابد. درنهایت، سلول‌های بالغ با عرضه آنتیژن به لنفوسيت‌های T، پاسخ آن‌ها را تحریک و جهت‌دار می‌کنند (۱). در سال ۱۹۷۳ Cohen و Steinman سلول‌های دندریتیک را شناسایی کردند (۲) و از آن پس، پروتکل‌های متعددی برای جداسازی و کشت این سلول‌ها در شرایط برونتنی بررسی شده است. به دنبال پیشرفت‌های به دست آمده، این سلول‌ها اکنون به عنوان ابزار نیرومندی در ایمونوتراپی (۳) و طراحی واکسن (۴) مطرح هستند، به طوری که تحقیقات درباره طراحی واکسن‌های درمانی گسترش فراوانی یافته و اولین واکسن در سال ۲۰۱۰، به تأیید سازمان غذا و داروی آمریکا رسیده است. به علت ویژگی‌های منحصر به فرد این سلول‌ها و اهمیتی که در تحقیقات گوناگون دارویی و واکسن دارند، اصول کار در شرایط آزمایشگاهی با این سلول‌ها الزاماتی را ایجاب می‌کند.

تهیه سلول‌های دندریتیک از سلول‌های مغز استخوان موش به روش کشت چندین روزه در مجاورت فاکتور محرك کلونی-گرانولوسیت-مونوسیت (GM-CSF)، به تهایی (۵) یا GM-CSF به همراه ایتلرولوکین-۴ (۶) و سپس القای بلوغ با استفاده از لیپو پلی‌ساقارید (LPS) باکتری گرم منفی، متداول‌ترین روش برای دستیابی به این گروه سلولی ارزشمند است؛ اما فوتیپ سلول‌های دندریتیک حاصل به غلظت سایتوکان‌های استفاده شده و به عواملی نظیر گونه موش استفاده شده، سن و جنس موش، نحوه جداسازی مغز استخوان، شرایط محیط کشت و سرم غنی‌کننده آن و

گردیدند. در مرحله بعد، دو سر استخوان‌های فمور در یک پتری دیش استریل با سر سوزن با گاز ۲۳ سوراخ شده و ۵CC محیط کشت استریل توسط سرنگ و با فشار به داخل مجرای استخوان تزریق و مغز استخوان‌ها در داخل یک فالکون استریل (بر روی ظرف حاوی بخ) جمع‌آوری گردید؛ همچنین دوسر استخوان‌های تیبیا به آهستگی برش داده شد و مغز استخوان با تزریق ۵CC محیط کشت استریل به داخل فالکون تخلیه گردید. سوسپانسیون سلولی به دست‌آمده به مدت ۷ دقیقه و با سرعت ۱۵۰۰ rpm در دمای ۴۰°C سانتریفیوژ شد. یک میلی‌لیتر بافر لیزکننده ACK (۱۵۵ میلی‌مولار NH₄Cl)، ۱۰ میلی‌مولار Na₂EDTA، ۱۱۰ میلی‌مولار KHCO₃، ۱۰ میلی‌مولار (Al-گلوتامین) به رسوب سلولی اضافه و پس از ۲ دقیقه، با اضافه کردن محیط RPMI غنی‌شده با ۵ درصد FBS، بافر ACK و خنثی و لوله حاوی سلول دوباره سانتریفیوژ گردید. محیط رویی خارج و سلول‌ها در یک میلی‌لیتر محیط RPMI غنی‌شده با ۱۰ درصد FBS سوسپانسیون و شمارش شدند.

تهیه سلول‌های ندریتیک نابالغ و القای بلوغ: سلول‌های مغز استخوان در پلیت ۶-خانه non-treated RPMI (Jetbiofil) حاوی دو میلی‌لیتر محیط کشت (10mM HEPES، ۱۶۴۰ غنی‌شده با ۲mM FBS، ۱۰ درصد، ۵۰ μM GM-CSF در انکوباتور ۳۷°C و ۵ درصد CO₂) کشت گردیدند. پس از سه روز، محتوى هر چاهک ۱-۲ بار پیپتاز و یک میلی‌لیتر به پلیت ۶-خانه non-treated جدید منتقل شد و دوباره یک میلی‌لیتر محیط کامل حاوی GM-CSF (20 ng/mL) نیز، به محتويات چاهک‌های پلیت جدید اضافه گردید (غلظت نهايی ۱۰ ng/mL). در روز پنجم، بخشی از سلول‌ها برای بررسی فوتويپ سلولی، با فلوسيتومتری جمع‌آوری شد. برای القای بلوغ در سلول‌های ندریتیک، در روز پنجم سلول‌ها با اوليگونوکلئوتيدهای CpG به عنوان محرك بلوغ T*C*C*A*T*G*A*C*G*T*T*C*C*T*G) (T*A*C*G*T*) و non-CpG (TCCAGGACTCTCTCAGG) غلظت ۵ μg/ml و ۱۰ μg/ml در دو

شرکت سیگما بوده است). سرم جنین گاوی (FBS) با اندوتوکسین کمتر از 1EU/ml و محیط کشت RPMI مایع از شرکت biowest فراهم گردید و بافر فسفات نمکی (PBS) به صورت مایع تجاری (biowest) استفاده شد. مواد به کاررفته در کشت و محیط‌های کشت غنی‌شده، با فیلترهای سرسنگی (Sartorius) استریل گردید. برای تهیه آب فاقد پیروژن از فیلتر ۰/۰۲ میکرونی (Millipore) استفاده شد. برای محلول‌سازی سایتوکاین (Peprotech) GM-CSF (Sigma-) (BSA) حاوی ۱٪ درصد آلبومین سرم گاوی (low LPS اوليگونوكليوتيدهای CpG Murine ODN-1826 (Biomatik) non-CpG (biomatik) و (non-CpG) در آب مقطر تزریقی تهیه شد. همه وسایل شیشه‌ای پیش از مصرف با اسید شسته و در دو مرحله با دمای ۱۸۰°C در فور، استریل شدند. همه وسایل از جمله ابزار جراحی، سمپلرها و سرسمپلرهای عاری از اندوتوکسین (ExtraGENE) به مدت ۴۵ دقیقه، در زیر هود بیولوژیک تحت اثر اشعه UV قرار گرفتند.

موش‌های آزمایش شده و شرایط نگهداری: مosh‌های ۶ هفتاهی BALB/c از انسستیتو پاستور ایران خریداری و در حیوان خانه، با شرایط استاندارد (۱۲ ساعت نور - ۱۲ ساعت خاموشی) تا پیش از آزمایش نگهداری گردید. همه پروتکل‌های به کاررفته مورد تأیید کمیته اخلاق انسستیتو پاستور ایران بوده است (کد مصوب: IP.PII.REC.1395.99).

جاداسازی سلول از مغز استخوان مosh: در این پژوهش، از دستورالعمل‌های Lutz (۱۰) با تغییرات مناسب استفاده شد. به این منظور در هر دور کاری، یک یا دو Mosh c ۸-۶ هفتاهی به روش اخلاقی نخاعی گردید. استخوان‌های فمور و تیبیا از هر دو پای Mosh جدا و با تیغ جراحی و گاز استریل، ماهیچه پاک‌سازی گشت. استخوان‌ها به مدت ۱-۲ دقیقه، در داخل الکل ۷۰ درصد ضدغونی شدند؛ سپس در PBS استریل شستشو داده و درنهایت، به محیط HEPES (۱۰ mM)، Al-گلوتامین (۲mM)، جنتامايسين (۱۰ mM) و بتا مركاپتواتانول (۵۰ μM) منتقل

شماره ۱ مشاهده می‌شود، سلول‌های دندربیک نابالغ (CD11C⁺) در روز پنجم کشت، در شرایط غیر بهینه از نظر اندوتوکسین، میزان بسیار اندکی از مولکول‌های MHC-II را بیان می‌کنند، درحالی‌که پس از حذف پیروژن از مراحل مختلف، درصد سلول‌های زنده افزایش می‌یابد و بیان بالایی از مولکول‌های MHC-II مشاهده می‌شود. به عبارت بهتر، در شرایطی که اندوتوکسین در مواد گوناگون مصرفی بهویژه محیط کشت و افزودنی‌های آن وجود دارد، بازدهی تولید سلول‌های نابالغ از کشت سلول‌های مغز استخوان بسیار اندک است و سلول‌ها در حضور LPS، پیش از موعد بالغ می‌شوند و از بین می‌رونند. رعایت شرایط عاری از اندوتوکسین، بازدهی تولید سلول‌های نابالغ را به شدت افزایش می‌دهد، به طوری‌که پس از حذف LPS از مراحل کشت، درصد سلول‌های CD11C⁺/MHC-II⁺ به طور معناداری افزایش می‌یابد.

بهینه‌سازی تعداد سلول‌ها در کشت: تعداد سلول‌های کشت داده شده در پلیت، از عوامل بسیار مهم در زنده ماندن سلول‌های دندربیک است و افزایش سلول‌ها در یک فضای مشخص، به مرگ‌ومیر زودهنگام سلول‌ها منجر می‌شود. شکل شماره ۲، رابطهٔ تعداد سلول کشت داده شده و میزان مرگ‌ومیر سلولی را نشان می‌دهد. در این پژوهش، پس از بررسی‌های متعدد، تعداد 8×10^5 سلول برای انجام مراحل بعدی مناسب تشخیص داده شد. در این حالت، با افزایش تعداد سلول‌های زنده، بازدهی سلول‌های دندربیک نابالغ بیان‌کنندهٔ شاخص CD11C به بیش از ۵۰ درصد افزایش می‌یابد، بیان MHC-II بالاست و بیان شاخص بلوغ CD86 به محدوده ۱-۱۰ بر روی نمودارها کاهش می‌یابد که با میانگین شدت فلوروست (MFI) معادل ۳/۸۹ نشان داده شده است و نشان از بیان اندک این مولکول بر سطح سلول‌های نابالغ دارد (شکل شماره ۳).

تأثیر تعویض پلیت در روز سوم کشت: در مراحل جداسازی سلول‌های مغز استخوان و تبدیل آن به سلول‌های نابالغ، به طور متداول، مقداری از محیط کشت جمع‌آوری و معادل آن، محیط کشت تازه حاوی سایتوکاین اضافه می‌شود. در این مطالعه نشان داده شد که چنانچه در این مرحله، بخشی از سلول‌ها از پلیت اول

منظور، یک میلی‌لیتر از محیط حاوی CpG و non-CpG ۱۰ µg/ml و ۵ µg/ml، به چاهک‌های مربوطه به طور جداگانه اضافه شد. در روز هفتم، بلوغ بخشی از سلول‌ها برای بررسی فنتوپ سلولی با فلوسیتومتری جمع‌آوری گردید.

ارزیابی فنتوپ سلول‌ها با روش فلوسایتومتری: برای بررسی فنتوپ، سلول‌ها از پلیت‌های کشت در لوله‌های فلوسیتومتری جمع‌آوری و ۵ دقیقه با دور ۱۷۰۰ rpm و دمای محیط سانتریفیوژ شد. پس از شستشو با بافر نمکی PBS-1% FBS، سلول‌ها بسته به نوع مطالعه، با مقادیر کافی از آنتی‌بادی‌های ضد CD11C (eBioscience) FITC، کونژوگه با CD86 (eBioscience) PE و کونژوگه با PE-Cy5 (eBioscience) PE-Cy5 دمای ۴۰°C رنگ‌آمیزی گردیدند. پس از شستشوی مجدد با بافر PBS-1% FBS، رسوب سلولی در بافر یادشده سوسپانسیون گشته و با استفاده از دستگاه فلوسایتومتری Partec-Germany CyFlow دندربیک نابالغ و بالغ بررسی شد. اطلاعات با نرم‌افزار Tree Star-USA FlowJo vol.7.6 گردید.

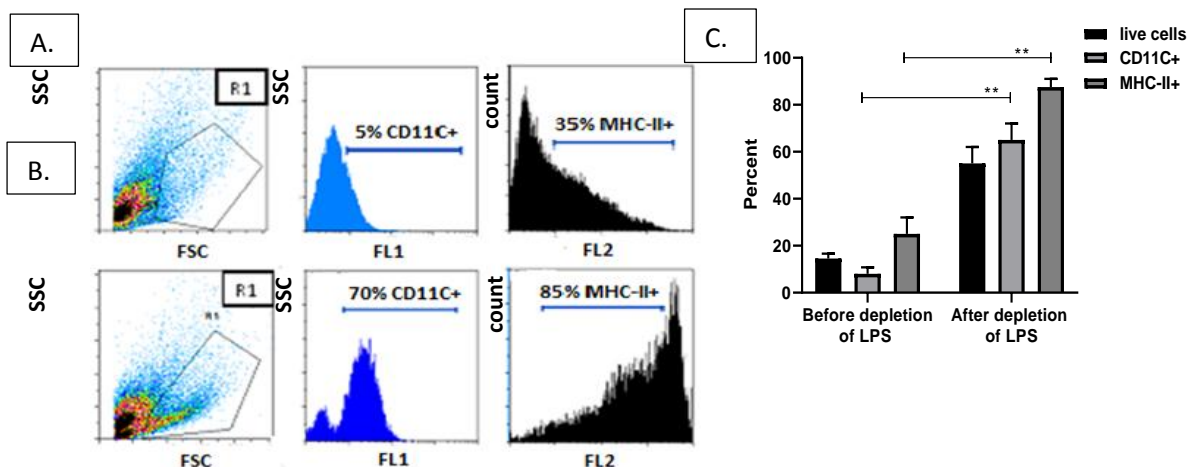
آزمون‌های آماری: تحلیل‌های آماری برای بررسی میزان بروز شاخص‌های بلوغ بر سطح سلول‌های دندربیک در شرایط گوناگون، با استفاده از t-test صورت گرفته و نتایج ارائه شده مربوط به دو تکرار در مراحل مختلف بوده است.

یافته‌های پژوهش

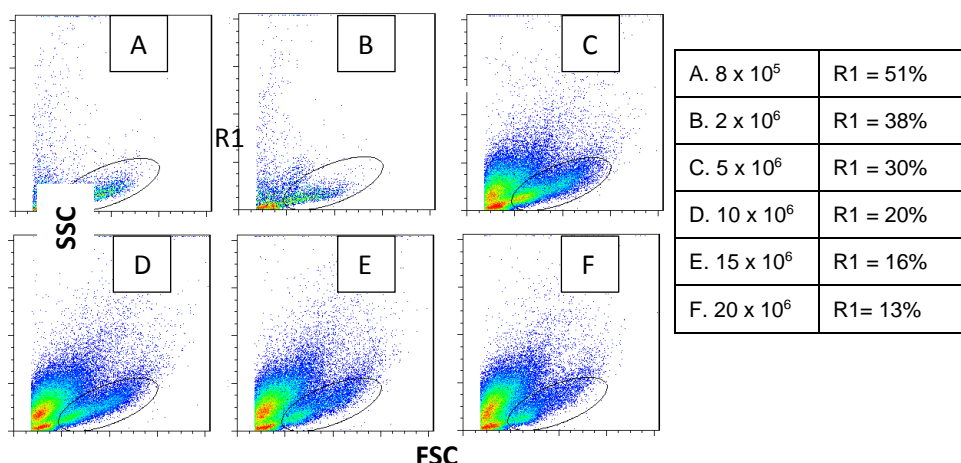
بررسی بازدهی سلول‌های دندربیک نابالغ در شرایط بدون اندوتوکسین: اندوتوکسین از جمله مولکول‌هایی است که به علت داشتن گیرنده‌های مناسب در سطح سلول‌های دندربیک، به فعال‌سازی این سلول‌ها و بلوغ منجر می‌شود. یکی از شاخص‌های اصلی این سلول‌ها، مولکول‌های MHC-II است که برای شناسایی به کار می‌رود. حذف اندوتوکسین سبب افزایش چشمگیر بازده سلول‌های زنده نابالغ دندربیکی، در روز پنجم پس از کشت سلول می‌شود که با شاخص MHC-II قابل ارزیابی است. همان‌گونه که در شکل

بیشتر از پلیت دوم است (۹۴ درصد در برابر ۶۹ درصد). اگر به MFI بر روی محور FL3 توجه شود (CD86⁺), سلول‌ها در پلیت دوم MFI پایین را (در محدوده ۱۰-۱) نشان می‌دهند، درحالی که در پلیت اول، این محدوده به ناحیه ۱۰-۱۰۰ بر روی نمودار کشیده شده است.

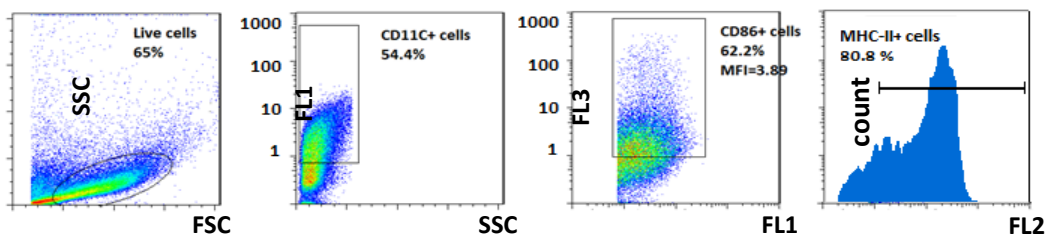
کشت به پلیت دیگری انتقال داده شود، درصد کمتری از سلول‌ها دچار بلوغ زودرس و خودبهخودی می‌شوند (شکل شماره ۴) که با بیان کمتر شاخص‌های بلوغ در روز پنجم، در سلول‌های منتقل شده به پلیت دوم مشخص می‌شود (ناحیه Q2). این در حالی است که در پلیت اول، بیان شاخص‌های بلوغ ناخواسته در ناحیه Q2



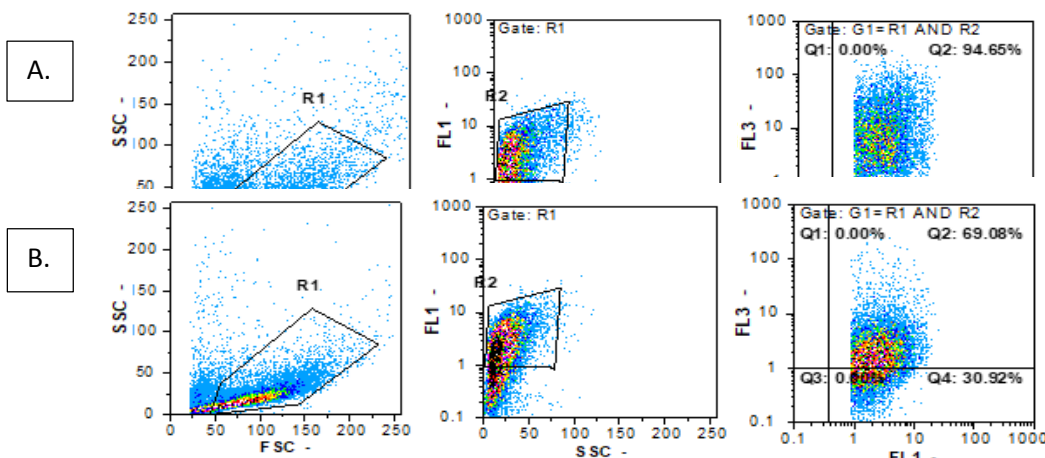
شکل شماره ۱. تأثیر LPS در شرایط کشت سلول‌های دندریتیک؛ A. پیش از حذف و B. پس از حذف LPS مربوط به مولکول‌های CD11C و MHC-II مربوط به FL1 و FL2. C. اختلاف در شرایط پیش و پس از حذف LPS از نظر تعداد سلول زنده R1 (CD11C+) و MHC-II+ (MHC-II+) را بیان می‌کند. $P < 0.05$ به عنوان اختلاف معنادار در نظر گرفته شده است.



شکل شماره ۲. مقایسه تعداد سلول زنده در پلیت کشت ۶-خانه. جدول تعداد سلول اولیه تقسیم شده در پلیت و درصد سلول‌های زنده در روز پنجم پس از کشت (ناحیه R1) را نشان می‌دهد. نمودارها نماینده دو بار تکرار کاری هستند.



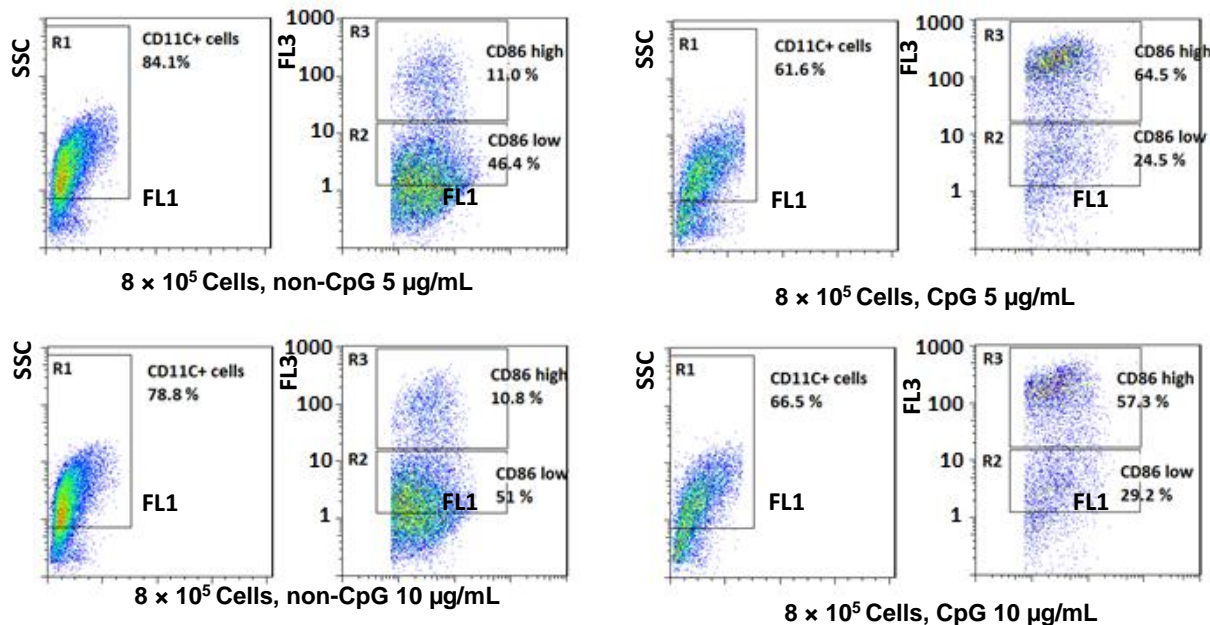
شکل شماره ۳. وضعیت تعداد سلول زنده، بیان CD11C و شاخص بلوغ CD86 با استفاده از 8×10^5 سلول



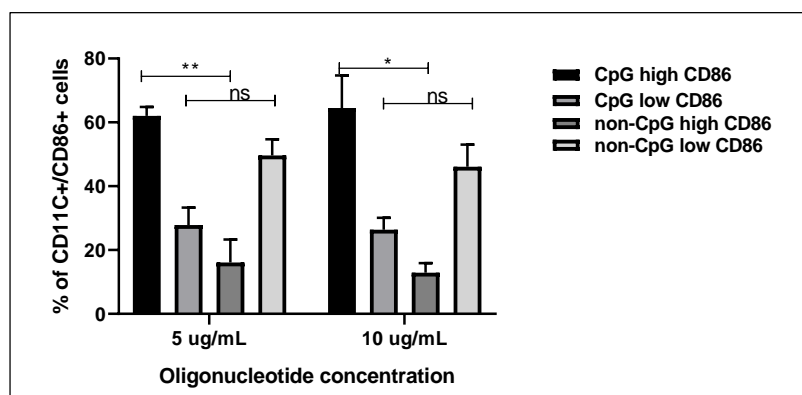
شکل شماره ۴. مقایسه وضعیت شاخص‌های بلوغ سلول‌های دندریتیک در روز پنجم؛ A. وضعیت سلول‌های انتقال داده شده به پلیت دوم (در روز سوم پس از کشت). ناحیه R2 سلول‌های دندریتیک (FL1) CD11C+ (FL1) CD86+ (FL3) MHC-II+ (FL2) را نشان می‌دهد. ناحیه Q2 بر روی نمودارهای سوم هر ردیف، سلول‌های زنده CD11C+/CD86+ را بیان می‌کند. نمودارها نماینده دو بار تکرار کاری هستند.

است. همان‌گونه که در شکل شماره ۵ مشاهده شد، پس از تحریک با اولیگونوکلئوتید non-CpG می‌شود، پس از تحریک با اولیگونوکلئوتید CpG توده سلولی در ناحیه R2 تجمع دارد (بیان پایین شاخص CD86)، درحالی که پس از تحریک با اولیگونوکلئوتید CpG، افزایش چشمگیری در بیان شاخص بلوغ و انتقال توده سلولی به ناحیه R3 دیده می‌شود. نکته قابل توجه این است که با افزایش غلظت CpG از $5\mu\text{g}/\text{mL}$ به $10\mu\text{g}/\text{mL}$ ، میزان بیان شاخص CD86 افزایش شدیدی نشان نمی‌دهد؛ همچنین پس از تحریک با اولیگونوکلئوتید CpG، بخش عمدتی از سلول‌ها بالغ شده‌اند، درحالی که کنترل G non-CpG قادر به بالغ‌سازی فراوانی از سلول‌ها نبوده است. شکل شماره ۶ اختلاف تحریک با اولیگونوکلئوتید CpG و non-CpG در غلظت‌های $5\mu\text{g}/\text{mL}$ و $10\mu\text{g}/\text{mL}$ را بر اساس بیان شاخص بلوغ CD86 نشان می‌دهد.

القای بلوغ در سلول‌های دندریتیک: از نتایج آشکار شد که در روز پنجم پس از کشت، سلول چه از نظر میکروسکوپی (سلول‌های گرد و زنده) و چه از نظر فلوسیتومتری (مقادیر بالای CD11c و MHC-II و مقادیر پایین CD86)، پروفایل کامل و صحیح سلول دندریتیک نابالغ را دارد. با توجه به اینکه تأثیر بالقوه LPS در مراحل گوناگون کشت به صورت القای بلوغ زودرس و مرگ زودهنگام محرز گردید، در ادامه، تیمار با اولیگونوکلئوتید CpG به عنوان محرک بلوغ و non-CpG به عنوان کنترل در دو غلظت $5\mu\text{g}/\text{ml}$ و $10\mu\text{g}/\text{ml}$ (برای هردو اولیگونوکلئوتید) انجام شد. استفاده از محرك CpG به شکل چشمگیری به افزایش بیان شاخص CD86 نسبت به غلظت مشابه از اولیگونوکلئوتید non-CpG کنترل منجر گردید که نشان‌دهنده بلوغ سلول‌های دندریتیک در اثر برخورد با



شکل شماره ۵. بررسی فلوسیتومتریک وضعیت بلوغ در روز هفتم پس از تحریک سلول‌های نابالغ با آگونیست رسبتور A: TLR-9 و B: مربوط به غلظت ۵ µg/mL از محرک CpG و کنترل non-CpG مربوط به ۱۰ µg/mL از محرک CpG و مربوط به شاخص CD86 مربوط به ناحیه R1 سلول‌های زنده را تعیین می‌کند. ناحیه R2 مربوط به شاخص CD11C و ناحیه R3 مربوط به شاخص CD86 در منطقه باشد که نسبت زیاد را نمایش می‌دهد.



شکل شماره ۶. مقایسه آماری بیان شاخص CD86 بر روی سلول‌های بالغ شده با ۵ µg/mL و ۱۰ µg/mL از اولیگونوکلئوتید CpG در مقایسه با non-CpG معنادار تلقی شده است ($P < 0.05$). (ns = non-significant).

برای چندین روز متوالی، متداول‌ترین روش است (۱۱، ۱۲); سپس محرک‌های بلوغ به کشت افروده می‌شود تا سلول‌های بالغ دندریتیکی به دست آید که نوع محرک بر فنوتیپ و نوع سلول‌های دندریتیک تولیدشده تأثیر می‌گذارد (۱۳). یکی از محرک‌های استفاده شده LPS باکتری‌های گرم منفی است (۱۴).

بحث و نتیجه‌گیری
نتایج به دست‌آمده از این پژوهش آشکار کرد که شرایط کشت در تهییه سلول‌های دندریتیک نابالغ بسیار اهمیت دارد. برای دستیابی به سلول‌های نابالغ دندریتیکی در آزمایشگاه، روش‌های گوناگونی هست که کشت سلول‌های پیش‌ساز مغز استخوان موش در حضور

نکته دیگر، تعداد سلول‌ها در کشت است. این تعداد حدود 2×10^6 سلول در پلیت کشت میکروبی (روش لوتس) و $10^5 - 10 \times 10^5$ سلول در پلیت کشت ۲۴-خانه (روش اینابا) است. با اینکه در بیشتر مطالعات مربوط به سلول‌های دندریتیک از این تعداد بهره گرفته می‌شود (۲۰، ۱۹)، در برخی موارد مشاهده شده که از تعداد سلول‌های بیشتری مثلاً 10^8 سلول در فلاسک‌های T25 استفاده می‌گردد (۸). نتایج این مطالعه نشان داد که هرچه تعداد سلول کشت داده شده در یک فضای مشخص افزایش یابد، نه تنها سبب افزایش بازدهی نمی‌شود، بلکه تعداد سلول‌های زنده دندریتیکی در روز پنجم به مراتب کاهش می‌یابد. در این پژوهش، با استفاده از پلیت‌های کشت ۶-خانه غیرچسبنده (non-treated) که سبب کاهش تمایز بهسوی ماکروفائز می‌شود، بالاترین بازدهی با استفاده از 8×10^5 سلول اولیه مغز استخوان بدست آمد. این نتایج با مطالعات مشابه مطابقت دارد که از پلیت کشت ۶-خانه بهره گرفته‌اند (۲۱). سلول‌های دندریتیک مانند همه سلول‌ها میانکنش سلول-سلول را می‌پسندند؛ اما افزایش تعداد سلول‌ها، نه تنها سبب مرگ پیش از موعد می‌شود، بلکه حساسیت سلول‌های دندریتیکی به محرك‌های بلوغ را نیز کاهش می‌دهد (۲۲).

نکته دیگر، نحوه کشت است که در پروتکل‌های گوناگون، متفاوت است. برخی بر اساس روش لوتس، در روز سوم، محیط تازه به پلیت‌ها اضافه می‌کنند و سپس ۳-۲ روز یکبار، ۵۰-۷۰ درصد محیط را با محیط کشت تازه جایگزین می‌سازند (۲۳). برخی مانند روش اینابا، در روزهای تعویض، ۷۵ درصد محیط کشت را برمی‌دارند و با محیط کشت تازه جایگزین می‌نمایند (۲۴) و برخی از روز سوم، محیط کشت جمع‌آوری شده را سانتریفوژ می‌کنند و به رسوب سلول محیط تازه اضافه و به پلیت اولیه برمی‌گردانند (۲۵) در سایر موارد که کمتر به آن پرداخته می‌شود، سلول‌های غیرچسبنده در روز سوم (۲۲، ۱۲) و یا روز پنجم (۲۶) یا ششم (۲۴)، از پلیت اول جمع‌آوری و همراه محیط کشت تازه به پلیت جدید انتقال داده می‌شود. در این حالت، بازدهی بازیابی سلول‌های نابالغ به مراتب افزایش می‌یابد. در این مطالعه نشان داده

اندوتوکسین‌ها محرك‌های نیرومندی هستند که سبب تحریک پاسخ ایمنی میزان حتی در مقادیر بسیار کم می‌شوند (۱۶). مولکول LPS به عنوان لیگاند گیرنده TLR-4 که در سلول‌های دندریتیک به‌فور یافت می‌شود، به تولید سایتوکاین‌هایی مانند اینترلوکین ۱۲-منجر می‌گردد (۱۷، ۱۸). با اینکه از اندوتوکسین باکتری به عنوان یکی از عوامل بلوغ سلول‌های دندریتیک استفاده می‌شود، حضور زودهنگام آن در مراحل اولیه کشت (از هنگام جداسازی سلول‌های مغز استخوان موش)، شرایط را برای رسیدن به سلول‌های بالغ مناسب برای ادامه کار غیرممکن می‌سازد. وجود مقادیر بالا از LPS در مواد مصرفی از قبیل آب، محیط‌های کشت سلولی، وسایل مصرفی مانند سرسپلرها، لوله‌های فالکون و وسایل شیشه‌ای می‌تواند روند تبدیل سلول‌های مغز استخوان به سلول‌های دندریتیک نابالغ را به شدت تحت تأثیر قرار دهد. این نکته در منابع گوناگون به‌وضوح شرح داده نشده است، در حالی که مهم‌ترین عامل در موقیت کشت سلول‌های دندریتیک است. در این مطالعه نشان داده شد که پیش از حذف LPS از مواد مصرفی بهویژه آب در کشت سلول‌های دندریتیک، درصد بقای سلول‌ها و بیان شاخص‌های LPS دندریتیکی به‌طور معناداری کمتر از زمانی است که از شرایط کشت حذف می‌شود. به کارگیری تجهیزات عاری از پیروزه و یکبار مصرف در آزمایشگاه و نیز استفاده از روش‌های شستشوی مناسب برای تجهیزات شیشه‌ای (شستشو با اسید و فور کردن) می‌تواند با کاهش میزان LPS، از بلوغ ناخواسته و مرگ‌ومیر جلوگیری کند. همه مواد مصرفی کشت و وسایل شامل سرسپلرها می‌باشد بدون اندوتوکسین باشند. اکیداً توصیه می‌شود از دستگاه‌های اتوکلاو آزمایشگاهی که برای مصارف روزانه استریلیزاسیون استفاده می‌شوند، برای استریل کردن استفاده نگردد. در این پژوهش، در موارد ضروری، فیلترهای سرسرنگی برای استریل کردن مایعات و تابش UV برای استریل کردن سرسپلرها و وسایل به کار رفت؛ همچنین استفاده از آب مقطور تزریقی استریل در مصارف کم حجم و آب مقطور فیلترشده با فیلترهای ۰/۰۲ میکرونی در موارد مصرف با حجم بالا جایگزین گردید.

فاکتورهایی نظیر CpG به کار رود. استفاده از این محرک علاوه بر حذف ماده‌ای نظیر LPS از کشت سلول‌ها، مزایای دیگری نیز دارد. مطالعات مختلف که با هدف بالغ‌سازی سلول‌های دندریتیک برای تهیه واکسن القاکننده پاسخ‌های Th1 انجام گرفته است، نشان می‌دهد که کشت سلول‌های دندریتیک در مجاورت GM-CSF به تنهایی (و بدون استفاده از IL-4) و سپس بالغ‌سازی با استفاده از CpG، در القای پاسخ‌های Th1 مؤثر است (۳۰). در این شرایط، سلول‌ها از نیمه-عمر کافی برای تزریق به داخل بدن برخوردار خواهند بود. این در حالی است که استفاده از LPS در مطالعات واکسن، علی‌رغم القای مسیر Th1، امکان تزریق به بدن حیوان یا انسان را منتفی می‌سازد.

سپاس‌گزاری

نویسنده‌گان این مقاله مراتب تشکر خود را از سرکار خانم معتمدی (بخش ویروس‌شناسی مولکولی انتستیتو پاستور ایران) برای انجام فلوسیتومتری و جناب آقای غلام علیزاده (بخش ایمونوتراپی و تحقیقات واکسن لیشمانا انتستیتو پاستور ایران) برای تهیه عکس‌ها اعلام می‌دارند. این پژوهش حاصل طرح شماره ۹۵۶ مصوب انتستیتو پاستور ایران با کد اخلاقی IR.PII.REC.1395.99 است که بدین‌وسیله از انتستیتو پاستور ایران قدردانی می‌گردد.

کد اخلاق: IR.PII.REC.1395.99

شد که انتقال نیمی از محیط کشت پس از سوسپانسیون ملایم به پلیت کشت جدید و افودن محیط تازه، سبب جلوگیری از بلوغ سلول‌های دندریتیک نابلغ در پلیت جدید می‌شود و فضای بیشتری برای رشد دندریتیک‌ها با کاهش گرانولوسمیت‌ها و ماکروفازها فراهم می‌گردد. این در حالی است که در پلیت اول، شاخص‌های بلوغ بیشتری بیان می‌شوند. علت این مسئله را می‌توان به افزایش تعداد سلول‌ها در پلیت اول نسبت داد که سبب القای بلوغ خودبه‌خودی و مرگ سلول‌های دندریتیک می‌گردد (۱۱، ۲۵).

نکته دیگر، محرک‌های استفاده شده در القای بلوغ در سلول‌های دندریتیک نابلغ است که بر اساس روش لوتس، عموماً از LPS استفاده می‌شود؛ اما اولیگونوکلئوتید CpG نیز امروزه کاربرد فراوان دارد. CpG به عنوان یک محرک نیرومند سیستم ایمنی توسط TLR-9 سلول‌های دندریتیک شناسایی می‌شود (۲۷) که با القای بلوغ و ترشح IL-12 توسط این سلول‌ها، القای پاسخ سلول‌های Th1 را هدایت می‌کند (۲۸، ۲۹) در پژوهش حاضر نشان داده شد که استفاده از اولیگونوکلئوتید CpG به طور معناداری سبب افزایش بیان مقادیر MHC-II و CD86 در سلول‌های دندریتیک در مقایسه با non-CpG می‌شود؛ به همین علت توصیه می‌گردد به جای استفاده از LPS که با بلوغ سریع سبب افزایش مرگ و میر سلول‌ها می‌شود،

References

- Qian C, Cao X. Dendritic cells in the regulation of immunity and inflammation. *Semin Immunol* 2018;35:3-11.
- Steinman RM, Kaplan G, Witmer MD, Cohn ZA. Identification of a novel cell type in peripheral lymphoid organs of mice. V. Purification of spleen dendritic cells, new surface markers, and maintenance in vitro. *J Exp Med* 1979;149:1-16. doi.10.1084/jem.149.1.1
- Shang N, Figini M, Shangguan J, Wang B, Sun C, Pan L, et al. Dendritic cells based immunotherapy. *Am J Cancer Res* 2017;7:2091.
- Gu YZ, Zhao X, Song XR. Ex vivo pulsed dendritic cell vaccination against cancer. *Acta Pharmacol Sin* 2020;2:1-11.
- Lutz MB, Suri RM, Niimi M, Ogilvie AL, Kukutsch NA, Rößner S, et al. Immature dendritic cells generated with low doses of GM-CSF in the absence of IL-4 are maturation resistant and prolong allograft survival in vivo. *Eur J Immunol* 2000;30:1813-22. doi.10.1002/1521-4141(200007)30:7<1813
- Menges M, Baumeister T, Rößner S, Stoitzner P, Romani N, Gessner A, et al. IL4 supports the generation of a dendritic cell subset from murine bone marrow with altered endocytosis capacity. *J Leukoc Biol* 2005;77:535-43. doi.10.1189/jlb.0804473
- Yokota A, Takeuchi H, Maeda N, Ohoka Y, Kato C, Song SY, et al. GM-CSF and IL4 synergistically trigger dendritic cells to acquire retinoic acid producing capacity. *Int*

- Immunol 2009;21:361-77.doi.10.1093/intimm/dxp003
- 8.Gosavi RA, Salwe S, Mukherjee S, Dahake R, Kothari S, Patel V, et al. Optimization of ex vivo murine bone marrow derived immature dendritic cells: A comparative analysis of flask culture method and mouse cd11c positive selection kit method. Bone Marrow Res 2018;2:123-7.doi.10.1155/2018/3495086
- 9.Lutz MB, Kukutsch N, Ogilvie AL, Roßner S, Koch F, Romani N, et al. An advanced culture method for generating large quantities of highly pure dendritic cells from mouse bone marrow. J Immunol Meth 1999;223:77-92. doi.10.1016/s0022-1759(98)00204-x.
- 10.Inaba K, Inaba M, Romani N, Aya H, Deguchi M, Ikehara S, et al. Generation of large numbers of dendritic cells from mouse bone marrow cultures supplemented with granulocyte/macrophage colony-stimulating factor. J Exp Med 1992;176:1693-702.doi.10.1084/jem.176.6.1693
- 11.Arab S, Motamedi M, Khansari N, Moazzeni SM, Gheflati Z, Hadjati J. Dendritic cell maturation with CpG for tumor immunotherapy. Iran J Immunol 2006;3:99-105.
- 12.Arab S, Motamedi M, Hajati J. Culture and proliferation of dendritic cells from mouse bone marrow progenitors J Anim Biol 2008;1:35-40.
13. Dewitte H, Verbeke R, Breckpot K, Vandebroucke RE, Libert C, De Smedt SC, et al. Choose your models wisely: how different murine bone marrow derived dendritic cell protocols influence the success of nanoparticulate vaccines in vitro. J Cont Release 2014;195:138-46.
- 14.Winzler C, Rovere P, Rescigno M, Granucci F, Penna G, Adorini L, et al. Maturation stages of mouse dendritic cells in growth factor dependent long term cultures. J Exp Med 1997;185:317-28.
- 15.Rescigno M, Citterio S, Thery C, Rittig M, Medaglini D, Pozzi G, et al. Bacteria induced neo biosynthesis, stabilization, and surface expression of functional class I molecules in mouse dendritic cells. Proc Natl Acad Sci USA. 1998;95:5229-34.doi.10.1073/pnas.95.9.5229.
- 16.Nomura Y, Fukui C, Morishita Y, Hashima Y. A biological study establishing the endotoxin limit for in vitro proliferation of human mesenchymal stem cells. Reg Ther 2017;7:45-51. doi.10.1016/j.reth.2017.08.004.
- 17.Felzmann T, Huttner KG, Breuer SK, Wimmer D, Ressmann G, Wagner D, et al. Semi mature IL-12 secreting dendritic cells present exogenous antigen to trigger cytolytic immune responses. Cancer Immunol Immunother 2005;54:769-80.doi.10.1007/s00262-004-0637-2
- 18.Michael Dohnal A, Luger R, Paul P, Fuchs D, Felzmann T. CD40 ligation restores type 1 polarizing capacity in TLR4-activated dendritic cells that have ceased interleukin12 expression. J Cell Mol Med 2009;13:1741-50.doi.10.1111/j.1582-4934.2008.00584.x.
- 19.Taghikhani A, Hassan ZM, Ebrahimi M, Moazzeni SM. MicroRNA modified tumor derived exosomes as novel tools for maturation of dendritic cells. J Cell Physiol 2019;234:9417-27.doi.10.1002/jcp.27626.
- 20.Wang W, Li J, Wu K, Azhati B ,Rexiati M. Culture and identification of mouse bone marrow derived dendritic cells and their capability to induce T lymphocyte proliferation. Med Sci Int J Exp Clin Res 2016;22:244-50.doi.10.12659/msm.896951
- 21.Bonab SF, Salehi TZ, Khansari N, Hadjati J, Massoud A. An optimized method for ex vivo generation of dendritic cells. J Vet Res 2014;69:17-23.
- 22.Aghdami N, Moazzeni S, Gharib Doust M, Mahdavi M. Comparison of different methods for dendritic cell generation from mouse bone marrow. Cell J 2007;9:81-90.
- 23.Daneshmandi S, Pourfathollah AA, Forouzandeh-Moghaddam M. Chitosan nanopolymers effect in activating of mouse bone marrow derived dendritic cells. J Birjand Uni Med Sci 2014;21:160-8.
- 24.Haase C, Jorgensen TN, Michelsen BK. Both exogenous and endogenous interleukin10 affects the maturation of bone marrow derived dendritic cells in vitro and strongly influences Tcell priming in vivo. Immunology 2002;107:489-99.
- 25.Jin D, Sprent J. GM-CSF culture revisited: preparation of bulk populations of

- highly pure dendritic cells from mouse bone marrow. *J Immunol* 2018;201:3129-39.
- 26.Gholizadeh Z, Tavakkolafshari J, Nikpoor AR, Jalali SA, Jaafari MR. Enhanced immune response induced by P5 HER2 neu derived peptide pulsed dendritic cells as a preventive cancer vaccine. *J Cell Mol Med* 2018;22:558-67.doi.10.1111/jcmm.13343.
- 27.Jakob T, Walker PS, Krieg AM, Udey MC, Vogel JC. Activation of cutaneous dendritic cells by CpG containing oligodeoxynucleotides :a role for dendritic cells in the augmentation of Th1 responses by immunostimulatory DNA. *J Immunol*1998;161:3042-9.
- 28.Heufler C, Koch F, Stanzl U, Topar G, Wysocka M, Trinchieri G, et al. Interleukin12 is produced by dendritic cells and mediates T helper 1 development as well as interferon- γ production by T helper 1 cells. *Eur J Immunol*1996;26:659-68. doi.10.1002/eji.1830260323.
- 29.Macatonia SE, Hosken NA, Litton M, Vieira P, Hsieh CS, Culpepper JA, et al. Dendritic cells produce IL-12 and direct the development of Th1 cells from naive CD4⁺ T cells. *J Immunol*1995;154:5071-9.
- 30.Agallou M, Pantazi E, Tsiftsaki E, Toubanaki DK, Gaitanaki C, Smirlis D, et al. Induction of protective cellular immune responses against experimental visceral leishmaniasis mediated by dendritic cells pulsed with the Nterminal domain of Leishmania infantum elongation factor2 and CpG oligodeoxynucleotides. *Mol Immunol*2018;103:7-20. doi. 10.1016/j.molimm.2018.08.004.



Optimized Mouse BMDC Isolation and Culture under Endotoxin-Free Conditions

Sadeghishermeh A¹, Habibzadeh S¹, Taghikhani A², Rafati S¹, Seyed N^{1*}

(Received: November 7, 2020)

Accepted: February 14, 2021)

Abstract

Introduction: Dendritic cells are very important in basic studies and vaccine research, but isolation and culture of these cells face challenges due to their small number in tissues. Since there is no standard method, we addressed some of the factors affecting the efficiency of dendritic cell isolation and culture from BALB/c mouse bone marrow.

Materials & Methods: Bone marrow cells isolated from femur and tibia, were seeded in plates and treated with GM-CSF. On day 3, half of the media was transferred to a new plate with fresh media plus GM-CSF. On day 5, cells were induced with CpG oligonucleotide. Cell survival as well as maturation markers of CD11C, MHC-II and CD86 were investigated by flow cytometry on day 5 (immature cells) and day 7 (mature cells).

Ethics code: IR.PII.REC.1395.99

Findings: It was found that the presence of endotoxin in the culture of immature cells, significantly reduces the recovery of dendritic cells (p value <0.05). Less than one million cells seeded in non-treated 6-well plates and transfer of cells to a new plate on day 3 increased the efficiency of immature cell retrieval by preventing early maturation and premature death. Further treatment of immature cells with CpG on day 7 was used to induce the Th1 pathway. Significant difference (p value <0.05) with control group showed that CpG induces maturation after treatment with GM-CSF (without IL-4).

Discussion & Conclusions: Optimization of dendritic cell culture in terms of different culture conditions highly impacts the efficiency of immature cell formation and maturation.

Keywords: Bone marrow, Dendritic cells, Cell culture optimization, Endotoxin

1. Dept of Immunotherapy and Leishmania Vaccine Research, Pasteur Institute of Iran, Tehran, Iran

2. Dept of Immunology, Faculty of Medicine, Tarbiat Modares University, Tehran, Iran

* Corresponding author Email: negarse@gmail.com